

그림조각 맞추기에 관한 연구

* 이동주*, 서일홍*, 오상록**
 * 한양대학교 전자공학과, ** 한국과학기술원 전기제어 연구실

A Study on the Jig - Saw Puzzle Matching

Dong-Joo Lee*, Il-Hong Suh* and Sang-Rok Oh**

*Dept. of Electronics Eng., Hanyang Univ. ** Power Controls Lab., KAIST.

ABSTRACT

A jig-saw puzzle matching technique is proposed. Specifically, the geometric patterns of the puzzle pieces are firstly extracted using a boundary tracking algorithm at low resolution. And then, features of the extracted pieces to describe jig-saw puzzle pieces such as angles and distances between corner points, and convexity or concavity of a corner point are obtained from some corner points implying discontinuity of curvature of puzzle pieces' boundary.

Finally, a boundary matching algorithm without a priori information of matched puzzle is proposed.

1. 서 론

사람이 그림조각 맞추기에 사용하는 정보 및 그 조합은 상당히 복잡하며 직관적이라 할 수 있는데 그 모든 메커니즘을 컴퓨터로 프로그래밍하기 만 거의 불가능하다. 그럼에도 불구하고 컴퓨터를 이용한 2차원 그림 맞추기에 대한 여러 방법이 제시되어 있는데 모두가 각각의 그림조각들의 외형선으로부터 정보를 추출하여 수행하는 Boundary Matching 방법이다 [1, 2].

본 논문에서는 Chain-Code로 구한 외형선에서 물체를 설정하는 특징을 구하여 조합을 수행하는 Boundary Matching 방법에 의하여 CCD 카메라로 받은 그림조각을 맞추는 알고리즘을 제안하기로 한다. 특히 사전정보(Pre-information) 없이 그림조각들을 맞추기 위하여 한 조각에 다른 조각이 맞는다고 판단될 때까지 계속 맞추는 방법을 사용하였다. 이 방법은 실제로 오자가 많은 경우에는 사전정보를 알고 수행하는 경우보다는 덜 유용하지만 그림조각의 모양에 가해지는 제약이 적다는 점에서 효과적이라 할 수 있다.

실험대상인 그림조각들은 Back-Tracking 없이 맞추어질 수 있는 유일성(Uniqueness)을 갖도록 제한한다. 이 유일성은 그림조각들이 한 가지 방법만으로 알맞게 맞추어진다는 것을 의미하는데 그림조각의 기하학적 특성과 잡음에 관련된다. Back-Tracking을 제외시키는 것은 문제에 대한 충분한 이해가 없이는 그림조각을 맞추어나가는 프로그램의 복잡성이 상당히 커지기 때문이다. 물론 그림조각들이 유일성을 지니고 있더라도 Back-Tracking을 요구하는 경우가 있는데 이것은 그림조각을 맞추는 기준의 부정확성 또는 오자에 의한 것으로 판단된다.

2. 전 처리 과정 (Pre-Processing)

본 장은 서론에서 언급한 컴퓨터에 의한 2차원 Jig - Saw Puzzle Matching을 수행하기 위한 전 단계로서 물체의 표현과 특징들을 구한다.

2.1 이진영상의 구성 및 Blob의 추출

더욱 바르고 간단한 영상의 해석을 위하여 그림조각(물체)은 흰색('255'Gray-Level)으로 하고 그림조각이 놓여지는 바탕(배경)은 검은색('0'Gray-Level)으로 하여 이진영상을 구성하였다.

이진영상에서 Blob을 추출하기 위하여 Raster Scan 방식을 사용하였다 [3]. Blob의 경계점을 찾기 위하여 원쪽에서 오른쪽으로 일정한 갯수의 화소(Pixel)를 건너뛰면서 Scan하고, 위에서 아래로는 몇 열을 건너뛰어 Scan을 한다. 화소의 값이 '255'이면 그 행에서 화소의 값이 '0'에서 '255' (물체)로 변하는 화소를 찾아 경계점 추적을 시작한다. 또 다른 Blob을 찾기 위하여 이미 찾아진 Blob에 속한 모든 화소의 값을 '0'으로 바꾸어 준 다음에 Raster Scan을 계속한다.

2.2 경계점 추적 (Boundary Tracking)

이진영상에서 찾아낸 물체의 외형선을 추출하기 위하여 Chain Code Scheme을 사용하는데 이것은 2 차원 영상의 정보를 가진 1 차원적인 묘사로서 이루어진다. 이러한 Chain Code는 Freeman에 의하여 꽤 넓게 연구되어 있다 [4]. 본 논문은 그림 1. 의 8-방향 Chain coding Scheme에 의하여 경계점 추적을 수행한다.

경계점 추적은 Blob의 추출과 경계에서 선택한 시작점에서 시계방향으로 돌아가면서 추적하여 한 처음 시작한 경계점이 나올 때까지 계속한다. 경계점에서 다음의 경계점을 찾기 위하여 지금의 경계점을 중심으로 화소의 값이 '0'에서 '255'로 전이될 때 '255'의 값을 갖는 화소가 다음 경계점이 되며 이때의 방향이 벡터의 방향이 된다. 이처럼 다음의 경계점을 찾기 위해 8 방향 화소를 조사해 나가는 것을 Local Tracking이라 한다. 첫 경계점의 Local-Tracking 때에는 '0' 방향 화소는 배경에 속해 있고 따라서 출발방향은 '1'의 방향이 된다. 그 이외의 경계점에서의 Local Tracking 때에는 지난 Local Tracking 때에 이미 조사 받은 화소들이 존재하므로 인접한 8 방향 모두 조사할 필요가 없다.

위의 Chain-Code 구성 방법은 Tracking 하는데 걸리는 시간을 단축시키며, 하나의 화소로 구성된 부분에서도 Back Tracking 할 필요가 없어진다. Table 1에서 이들의 관계를 설명하였다.

전 벡터의 방향	출발방향
0	7
1	7
2	1
3	1
4	3
5	3
6	5
7	5

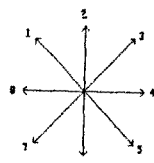


그림 1. 8-방향 Chain Coding Scheme

2.3 근사화 (Approximation) [5-8]

물체의 방향과 크기에 무관한 특징들을 구하기 위하여 Chain Code로부터 곡률변경의 불연속성을 계산하여 구한 구석점 (Corner Point)을 이용한다 [8]. 이러한 구석점을은 Chain 을 구성하는 s 개의 Line Segment 를 이동시키면서 찾는다.

주어진 n - Link Chain A^n 을 $A^n = C_{i=s}^n a_i = a_1, a_2, a_3, \dots, a_n$ 으로 나타내면 j 점을 끌고 으로 S 개의 Link 를 갖는 Line Segment L_j^s 는 다음과 같이 표시된다.

$$L_j^s = C_{i=j-s+1}^j a_i \quad j = 1, 2, 3, \dots, n, \quad n > s$$

L_j^s 의 X 와 Y 성분 X_j^s 와 Y_j^s 는 아래와 같다.

$$X_j^s = \sum_{i=j-s+1}^j a_{ix}, \quad Y_j^s = \sum_{i=j-s+1}^j a_{iy}$$

여기서 a_{ix} 와 a_{iy} 는 각각 Chain Link a_i 의 X 와 Y 성분이며 $a_{ix}, a_{iy} \in \{-1, 0, 1\}$ 이다. X 축에 대한 L_j^s 의 각도 Θ_j^s 는

$$\Theta_j^s = \begin{cases} \tan^{-1} Y_j^s / X_j^s & \text{if } |X_j^s| \geq |Y_j^s| \\ \cot^{-1} X_j^s / Y_j^s & \text{if } |X_j^s| < |Y_j^s| \end{cases}$$

로 주어진다. 이 Θ_j^s 로부터 j 가 1 부터 n 까지 변할 때의 Chain 의 곡률변경을 구하는데, 잡음의 영향을 감소시키기 위하여 Incremental Curvature 를 다음과 같이 정의한다.

$$\delta_j^s = 2 \cdot \frac{(\Theta_{j+1}^s - \Theta_j^s) + (\Theta_j^s - \Theta_{j-1}^s)}{2} = \Theta_{j+1}^s - \Theta_{j-1}^s$$

적당한 한계값 이내의 δ_j^s 값을 갖는 연속적인 Chain-node 를 Discontinuity Free 영역 이라고 하며 다음과 같이 표시한다.

$$t1 = \max \{ t \mid \delta_{j,v}^s \in (-\Delta, \Delta), 1 < v < t \} \\ t2 = \max \{ t \mid \delta_{j,v+1}^s \in (-\Delta, \Delta), 1 < v < t \} \\ \Delta = \text{Discontinuity Free 영역을 구하기 위한 } \delta_j^s \text{ 의 한계값}$$

따라서 어떠한 점에서의 Corner 의 정도는 아래의 두 값에 의해서 결정된다.

- Incremental Curvature δ_j^s 의 Discontinuity
- 양변의 Discontinuity - Free 영역의 길이 즉 어떤 점 j 의 Corner 의 정도를 나타내는 값을 그 점의 Cornerity K_j 라고 하면 K_j 는 다음과 같이 표시된다.

$$K_j = \sqrt{t1} \cdot \sqrt{t2} \cdot \sum_{i=j}^{s+j} \delta_i^s$$

따라서 물체의 구석점을 각 점의 Cornerity K_j 와 그 점 주위의 적당한 범위내의 다른 Cornerity 값을 비교하여 가장 큰 값을 갖는 점을 그 물체의 구석점이라고 인식한다.

2.4. 구석점의 특징

구석점을 이용하여 구할 수 있는 특징들로는 다음 세 가지를 들 수 있다.

- 1> 구석점의 Convexity 또는 Concavity 의 판별 한 구석점의 좌표값을 그 점에 좌우로 인접한 두 점을 시계방향으로 연결하는 직선의 방정식에 대입한 후 부호로써 결정한다. i 번째 그림조각의 j 번째 구석점의 Convexity 혹은 Concavity 를 CONi(j) 로 표시한다.

2> Corner Angle

하나의 구석점이 좌우로 이웃한 두 구석점과 이루는 각으로서 임의의 두 벡터 사이의 각을 구하여 계산한다. i 번째 그림조각의 j 번째 구석점의 Corner-Angle 은 다음과 같다.

$$\text{ANGi}(j) = \begin{cases} \theta & : \text{Convex - Point} \\ 360 - \theta & : \text{Concave - Point} \end{cases}$$

3> Corner Distance

하나의 구석점에서 시계방향으로 이웃한 다음의 구석점까지의 거리를 말하며 i 번째 그림조각의 j 번째 구석점의 거리를 DSTi(j) 로 나타낸다.

3. Jig - Saw Puzzle 의 조합

본 장에서는 전장에서 구한 특징들을 이용한 Boundary Matching 방법에 의하여 그림조각을 조합하는 알고리즘을 설명한다.

서론에서 언급한 바와 같이 모든 경우에 대하여 알고리즘을 구현하기란 거의 불가능하므로 각 알고리즘에 따라서 그림의 모양에 제한을 두고 있는데 그 대표적인 예를 들면 다음과 같다.

- 맞춰진 퍼즐의 구석점을 두 개 이상의 조각이 공유하는 경우. 그림 2.a
- 맞춰진 퍼즐의 한 번을 한 조각이 두 번 이상 공유하는 경우. 그림 2.b

본 논문에서는 그림 2. 와 같은 모양을 갖는 퍼즐에 대해서도 조합을 수행할 수 있는 알고리즘을 제안한다. 그러나 이 알고리즘 역시 완전한 것이 아니므로 본 알고리즘이 효율적이기 위한 제한요소가 필요하다. 서로 다른 두 퍼즐에 위한 한쌍의 구석점의 Corner-Angle 의 합이 360° 또는 180° 인 구석점들이 있으면 좋은 결과를 얻지만, 이러한 점들이 없으면 알고리즘의 수행 결과가 좋지는 않다. 따라서 아래의 설명은 위 조건을 만족하는 퍼즐에 대한 것으로 제한한다.

<용어설명>

- Master Blob : 두 Blob 이 조합될 때에 이동 회전의 기준이 되는 Blob ; #m
- Slave Blob : 두 Blob 이 조합될 때에 master 에 붙여지는 Blob ; #s
- Pm(i) : m 번째 Blob 에 속한 i 번째 구석점
- NUMm : m 번째 Blob 에 속한 모든 구석점의 수

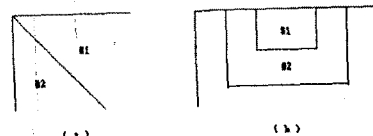


그림 2. 그림모양에 가해지는 제한

1. 초기화 : Object = Total number of Blob. ublob = 0, flag = Off
2. Select Two Initial Candidate Blobs ; Master & Slave-Blob
3. Checking Match-Condition.
IF not pass, IF flag = off GO TO 2°
ELSE GO TO 10°

4. Set Candidate Match-Pair.
5. Find Match-Range.
6. Merging.
7. Decide Fit-or-Not.
IF not pass, IF flag = off GO TO 2.
ELSE GO TO 10.
8. Save The Information of Used Blob.
flag = on, ublob = ublob + 1
9. Construct the Partial Matched Blob ; Master-Blob
10. IF ublob < Object
Select One Candidate Blob ; Slave-Blob
GO TO 3.
11. Graphic Representation of Matched Puzzle
12. Accuracy Measurement
13. END

그림 3. Fitting 알고리즘

3.1 후보조합 Blob(Candidate Match Blob)의 선택

조합을 수행하기 위해서는 우선 기준이 되는 퍼즐을 정하여야 한다. 기준이 되는 퍼즐의 선택은 Blob의 추출과정에서 찾아진 순서대로 각 Blob에 지정된 번호에 따라 조합조건을 적용하여 두 개의 Blob을 선택한다. 알고리즘의 첫 부분에서는 여러 Blob 중에서 2개를 후보조합 Blob으로 선택하고 뒤의 3.5 절에서 설명하고 있는 Partial Matched Blob을 구성한 다음에는 이 Blob을 Master-Blob 으로 정하고 남은 Blob 중에서 하나를 선택하여 Slave-Blob 으로 한다.

3.2 조합조건 및 조합범위의 설정

조합조건(Match-Condition)은 서로 다른 두 Blob에서 구한 후보조합점(Candidate Match point) 조합여부를 결정하는 조건을 말한다. 본 알고리즘은 효과적이기 위한 두 가지 조건을 앞에서 제시하였는데, 이를 조건에 따라서 조합조건 및 조합범위(Match-Range)의 설정방법이 달라진다.

• CASE A

1) 조합조건 : 서로 다른 두 Blob에 속한 두 개의 구석점이 내부점을 구성하는 경우
 $\text{ANGm}(i) + \text{ANGs}(j) = 360^\circ$, $\text{ANGm}(i) + \text{ANGs}(j) = 180^\circ$, 각 Blob의 구석점에 시계방향으로 붙여진 번호를 이용하여 조합조건을 정한다. i 와 j 가 두 Blob의 후보조합점이라면 조합조건은 다음과 같다.

- a) $\text{CONm}(i) + \text{CONs}(j) \neq 0$
- b) $|\text{ANGm}(i) + \text{ANGs}(j) - 360^\circ| < 1$
- c) $|\text{DSTm}(i-1) - \text{DSTS}(j)| < 2$ and
 $|\text{DSTm}(i) - \text{DSTS}(j-1)| < 2$
- d) $\text{CONm}(i-1) + \text{CONs}(j+1) \neq 0$ and
 $\text{CONm}(i+1) + \text{CONs}(j-1) \neq 0$

위의 조건 중에서 두 개의 블록점은 360° 를 구성하지 못하므로 우선 a) 조건을 검사한다.

2) 조합범위 설정

조합조건을 검사하여 두 구석점 $\text{Pm}(i)$ 와 $\text{Ps}(j)$ ($i \neq j$)가 조합점으로 판정되면 이들과 이웃한 점들 역시 조합조건을 만족하는 경우가 있어서 두 Blob 이 만나는 범위를 정하여야 한다. 그림 4. 의 알고리즘에서 Range-1과 Range-2는 Blob #m의 조합범위이고 Range-2와 Range-4는 Blob #s의 조합범위이다.

1. Set match-point ; $\text{Pm}(i) \& \text{Ps}(j)$
2. direction = 1, indirection = -1
 $ii = i, jj = j$
3. $ii = ii + indirection$
 $jj = jj + direction$
4. Check match-condition ; $\text{Pm}(ii) \& \text{Ps}(jj)$
IF pass GO TO 3.
ELSE range_1 = ii, range_2 = jj
 $ii = i, jj = j$

5. $ii = ii + direction$
 $jj = jj + indirection$
6. Check match-condition ; $\text{Pm}(ii) \& \text{Ps}(jj)$
IF pass GO TO 5.
ELSE range_3 = ii, range_4 = jj
7. END

그림 4. 조합범위의 설정을 위한 알고리즘

• CASE B

1) 조합조건 : 서로 다른 두 Blob에 속한 두 개의 구석점이 반상의 점(Side-Point)를 구성하는 경우, 즉
 $\text{ANGm}(i) + \text{ANGs}(j) = 180^\circ$, $\text{ANGm}(i) + \text{ANGs}(j) = 0^\circ$

이 조건은 CASE-A의 조합조건을 만족하는 구석점이 없을 때에 적용한다. Master-Blob #m의 구석점 i 와 Slave-blob의 구석점 j 가 후보 조합점인 조합조건은 다음과 같다. 그림 5.a

- a) $\text{CONm}(i) + \text{CONS}(j) \neq 0$
- b) $|\text{ANGm}(i) + \text{ANGs}(j) - 180^\circ| < 1$
- c) $|\text{DSTM}(i) - \text{DSTS}(j-1)| < 2$

위의 조건이 그림 5.b 에서는 성립하지 않는데 조합점을 중심으로 한쪽 방향으로만 비교하기 때문에 a), b) 조건을 만족하는 점의 위치에 영향을 받기 때문이다. 이러한 경우에는 단지 Master-Blob 과 Slave-Blob 을 바꿔 다음에 위의 조건을 적용한다. 그림 5.c 2) 조합범위 설정

CASE-B의 조합조건을 만족하면서 서로 맞닿는 한 변이 조합범위가 된다.

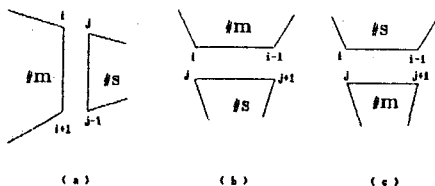


그림 5. CASE - B에 대한 설명

3.3 Merging

두 개의 Blob #m 과 #s 가 조합된다면 판정되면 Master-Blob에 Slave-Blob을 일치시키기 위한 이동벡터와 회전각을 구하여야 한다. i 와 j, k 와 l 을 각각 Blob #m 과 #s 의 조합범위라고 하자.

1) 이동벡터

두 개의 Blob #m 과 #s 의 서로 맞닿는 구석점 $\text{Pm}(i)$ 와 $\text{Ps}(k)$ 사이의 거리를 계산하여 구한다.

2) 회전각

각 Blob의 조합범위를 나타내는 두 구석점을 연결하는 벡터가 X-축과 이루는 각을 구한 후 이를 두 각의 차이를 회전각으로 정한다.

3.4 Fit - or - Not 의 결정

전 과정까지 수행하여 두 Blob 을 일치시킨 다음에 이를 두 Blob 이 조합범위 밖에서 서로 겹치는지의 여부를 검사하여야 한다. 다음의 알고리즘은 두 Blob 의 조합범위 밖에 있는 모든 변에 대하여 적용한다.

1. Slave-Blob의 조합범위 밖에 있는 한 변을 선택한다.
2. Master-Blob의 조합범위 밖에 있는 한 변에 대한 직선의 방정식 $F(x, y)$ 를 구한다.
3. 1. 에서 선택한 변의 양끝점 (Pi, Pe) 을 2° 에서 구한 방정식에 대입한다.
4. IF $F(Pi) \times F(Pe) > 0$ GO TO 1.
ELSE re_find the Match-Range of two Blobs #m and #s

3.5 Partial Matched Blob 의 구성

두 Blob 이 서로 조합된다고 판정하여 Merging 과정을 수행한 다음에는 남아 있는 Blob 에 대하여 지금까지의 과정을 반복하여야 한다. 이 경우에 기준이 되는 새로운 Master-Blob 을 만들어 주어야 하는데 Merging 과정에서 새로운 만들어진 Blob 을 사용한다. 이 Blob 을 그대로 사용하기보다는 다음과 같은 보정작업을 수행한 다음에 사용한다.

1) 사라지는 점(Hidden Point)의 처리

두 Blob 이 맞추어지면 서로 맞닿는 부분의 구석점들은 사라지는 점이므로 새로이 구성되는 Blob 의 구석점이 될 수 없다.

2) 변상의 점(Side-Point)의 처리

두 Blob 이 맞추어질 때 두 Blob 의 조합범위의 꼭 부분의 구석점들이 만나서 180° 를 이루면 이들 점은 새 Blob 의 구석점이 아니다.

3) 형태의 조정(Form Adjustment)

두 Blob 이 조합범위에 따라 맞추어지고 나면 두 Blob 의 조합범위에 바로 이웃한 구석점들이 이루는 틈새가 생긴다. 이 틈새는 Slave-Blob 의 회전과정에서 생기거나 혹은 구석점의 부정확한 설정에 의한 것으로서 Merging 과정 전에서는 알아내기 힘들다. 따라서 두 Blob 이 맞추어진 다음에 이 틈새들을 보정하여 주는 형태의 조정 과정이 꼭 필요하다. 그림 6.a의 Blob #m 과 #s 의 조합범위는 다음과 같다.

```
Blob #m ; range_1 = i, range_3 = i+1
Blob #s ; range_2 = j, range_4 = j-1
```

a) 두 구석점 $P_m(i)$ 와 $P_s(j)$ 가 다음 조건을 만족하면 틈새를 형성한다고 판단한다.

- $|360^\circ - \text{ANG}_m(i) - \text{ANG}_s(j)| < \text{threshold}$
- $|DSTM(i-1) - DSTs(j)| < \text{threshold}$

(b) 위의 두 Blob 에 대하여 조합범위를 확장시킨다.

```
Blob #m ; range_1 = i-1
Blob #s ; range_2 = j+1
```

c) 그림 6.a 의 b 는 벌어진 틈새의 각도로서 이각에 대하여 b) 에서 새로이 구한 조합범위에 Merging 과정을 적용한다. 그리고 점 $P_m(i)$ 와 $P_s(j)$ 는 사라지는 점으로 처리한다. 그림 6.b

d) 새로이 구성된 Blob 에 대하여 위의 과정을 다시 실행한다.

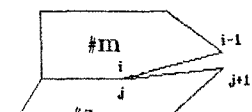
위의 방법을 그림 6.c 에 적용하면 성립하지 않는다. 이 경우는 각 Blob 의 조합범위의 확장이 달라지게 된다.

```
Blob #m ; range_1 = i-1
Blob #s ; range_3 = k
```

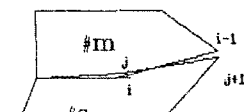
이들의 조합범위에 따라서 다시 Merging 과정을 수행한다. 그림 6.d

4) 위의 과정을 거쳐서 만들어지는 Blob 에 대하여 각 구석점에 지정되는 번호와 특징들을 재조정한다.

위의 방법을 적용하다 보면 조합범위 내에서 두 Blob 이 겹치는 경우가 종종 생긴다. 그러나 내부의 겹치는 정도가 심하지 않은 경우에는 전체적인 외형의 모습이 중요하다고 볼 수 있으며, 또한 계속되는 조합과정에서 정확성을 얻을 수 있다.



(a)



(b)

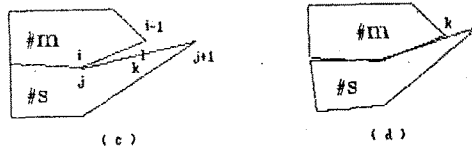


그림 6. 형태 조정이 필요한 조합된 그림조작

4. 결론

본 논문에서는 카메라로 부터 그림조각의 영상을 받아서 맞추어진 그림에 대한 사전정보 없이 그림조각 맞추기를 수행하였다. 알고리즘의 수행 결과는 그림조각이 놓여진 원래의 모습 그리고 근사화된 모양과 함께 나타내었다.

본 논문에서 다른 그림맞추기는 Graphical Data 를 광범위하게 다루고 그 결과를 인식하는 문제들의 대표적인 보기이다. 이러한 문제와 관련되어 앞으로 더욱 개발해야 할 분야는 다음과 같다.

- 카메라 Lenz 에 의한 외각의 치그레짐의 방지.
- Boundary Matching 의 근간이 되는 구석점을 보다 정확하게 찾는 알고리즘의 개발.
- 잘못 맞추어진 그림조각을 다시 맞추는 Back Tracking 알고리즘의 개발.

REFERENCE

1. H. Freeman & L. Gardner "A Pictorial Jigsaw Puzzles" EEE Trans.on Electric Comput., Vol. EC-13, pp118-127, 1964
2. G. M. Rodack & N.I. Badler "Jigsaw Puzzle Matching using Boundary Centered Polar Encoding" C. G. I. P, Vol. , No.19, pp1-17, 1982
3. R. L. T. Cederberg "Chain - Link Coding and Segmentation for Raster Scan Devices" C. G. I. P, Vol.10, No. , pp224-234, 1979
4. H. Freeman "Computer Processing of Line - Drawing Images" Computing Surveys, Vol.8, No.1, pp57-97, 1979
5. L. S. Davis "Understanding : Angles and Sides" IEEE Trans.on Comput., Vol.26, No.3 pp236-242, 1977
6. T. Pavlidis & S. L. Horowitz "Segmentation of Plane Curves" IEEE Trans.on Comput., Vol.23, No.8, pp860-870, 1974
7. J. G. Dunham "Optimum Uniform Piecewise Linear Approximation of Planar Curves" IEEE Trans.on Pattern Anal. Mach. Intell., Vol.8, No.1, pp67-75, 1986
8. H. Freeman & L. S. Davis "A Corner - Finding Algorithm for Chain - Coded Curves" IEEE Trans.Comput., Vol.26, pp 205-216, 1977

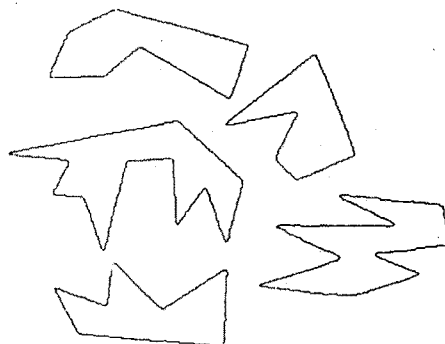


그림 7. 원래의 그림조각의 모양

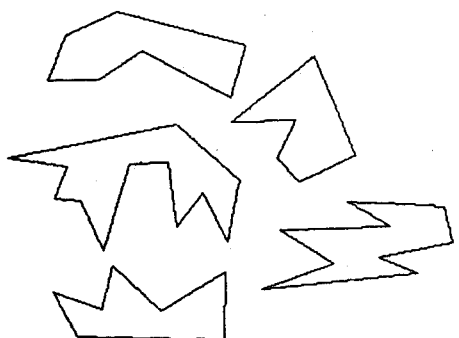


그림 8 . 그림 7 . 의 그림조각들을 근사화시킨 모양

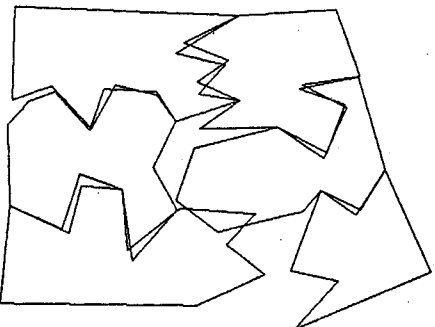


그림 11 . 그림 10 . 의 그림조각들의 맞추어진 모양

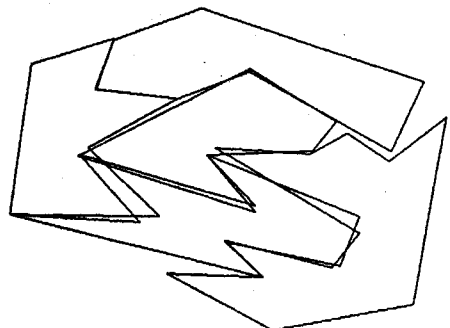


그림 9 . 그림 7 . 의 그림조각들의 맞추어진 모양

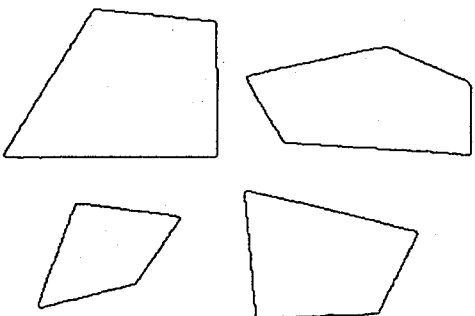


그림 12 . 원래의 그림조각의 모양

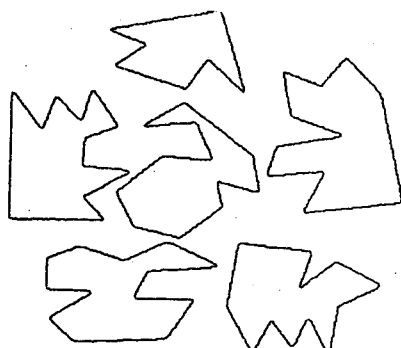


그림 10 . 원래의 그림조각들의 모습

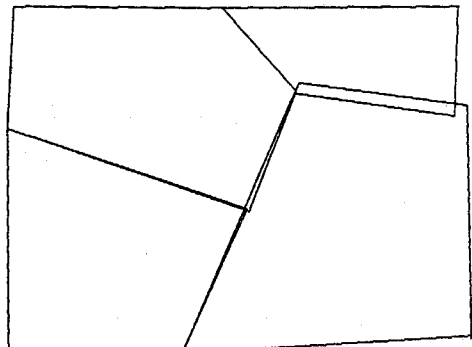


그림 13 . 맞추어진 그림조각의 모양